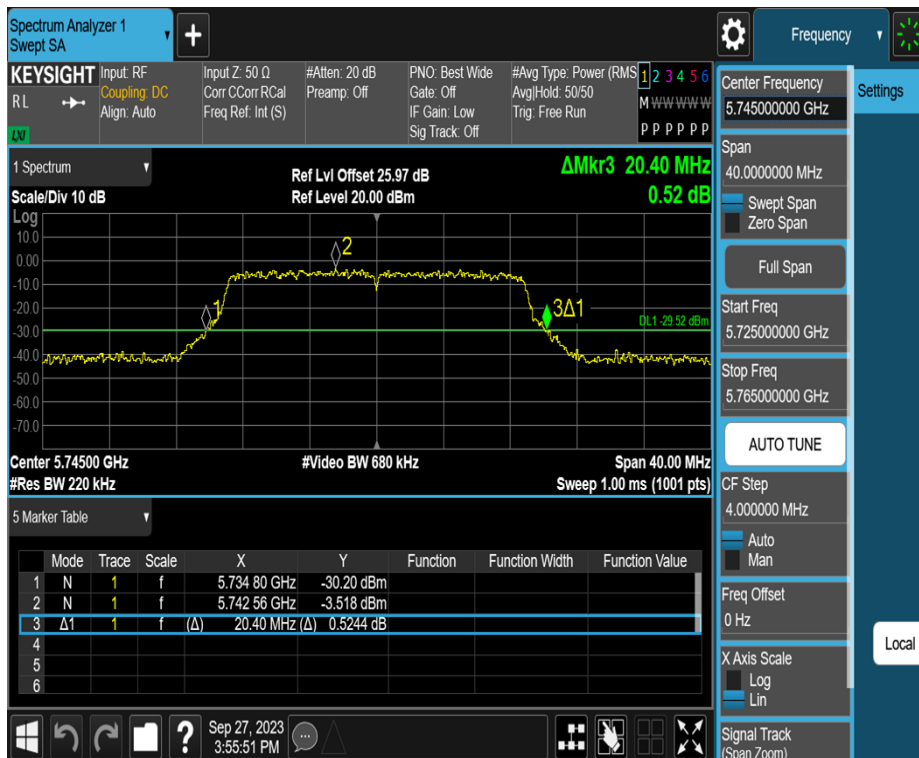


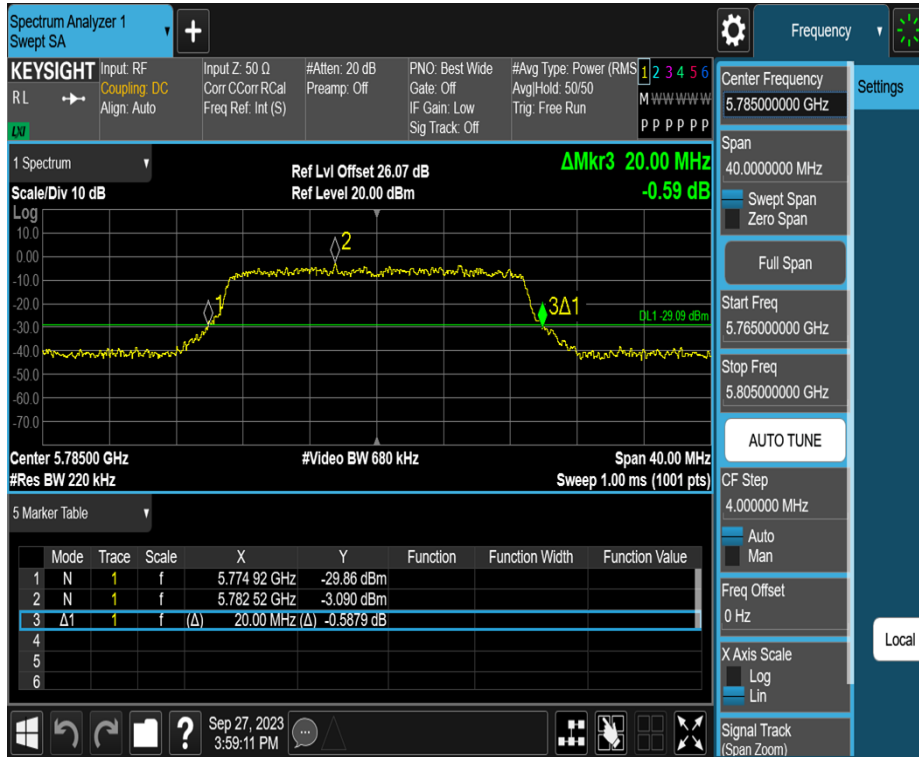
11N20MIMO_Ant1_5745



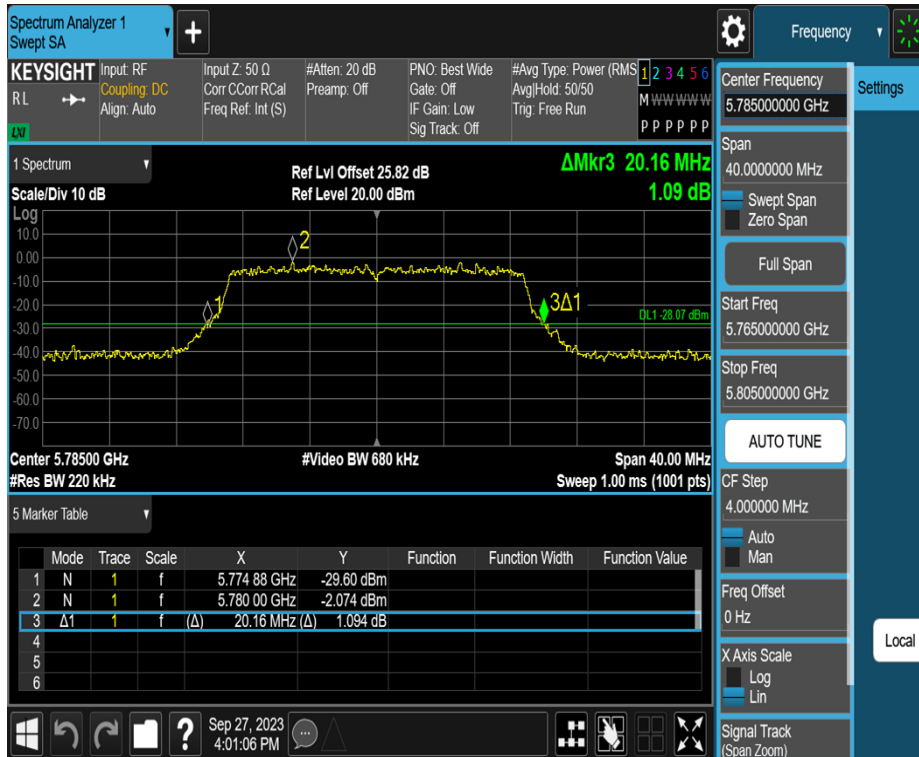
11N20MIMO_Ant2_5745



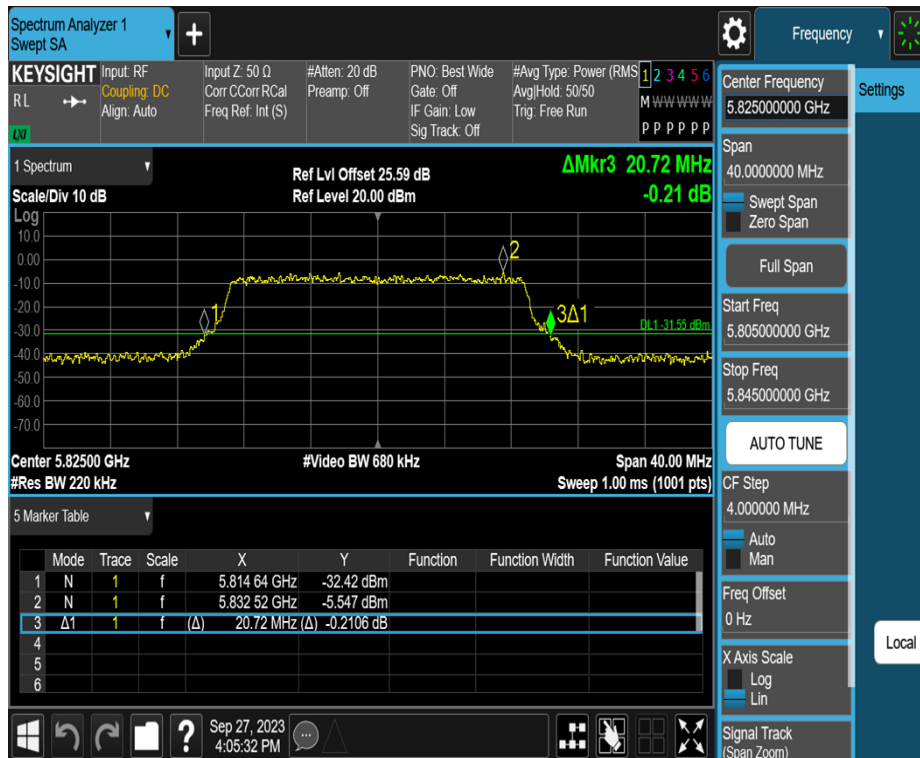
11N20MIMO_Ant1_5785



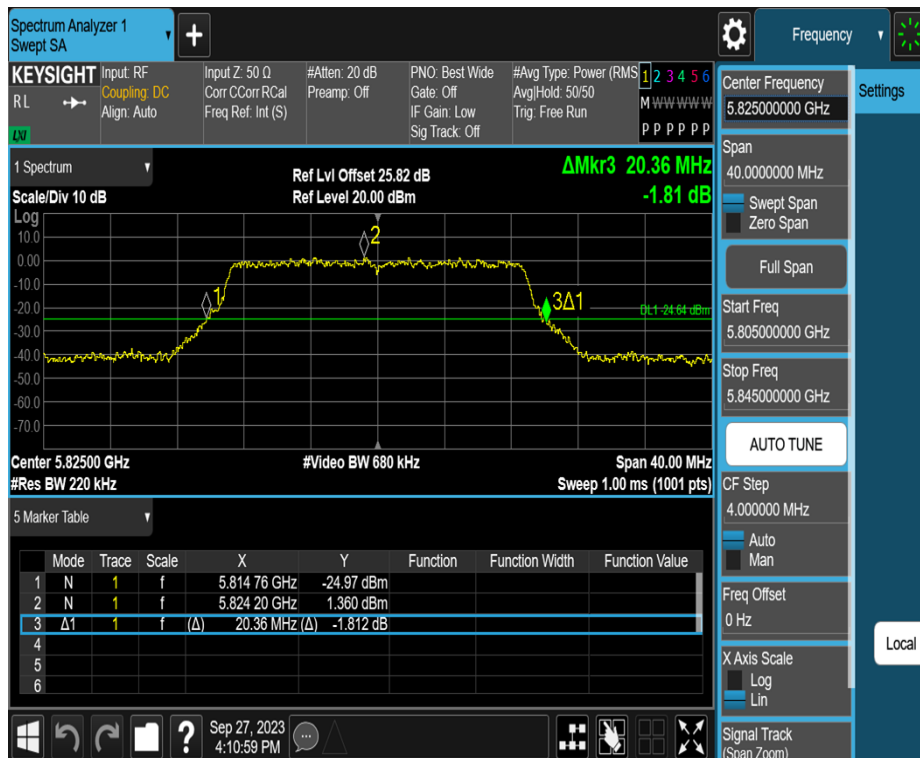
11N20MIMO_Ant2_5785



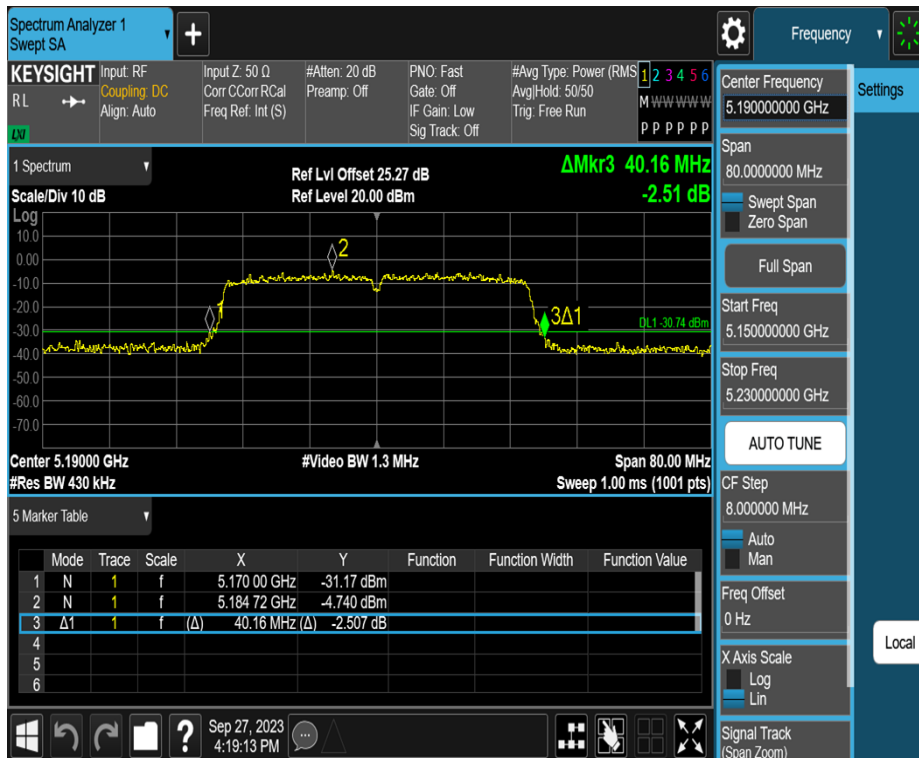
11N20MIMO_Ant1_5825



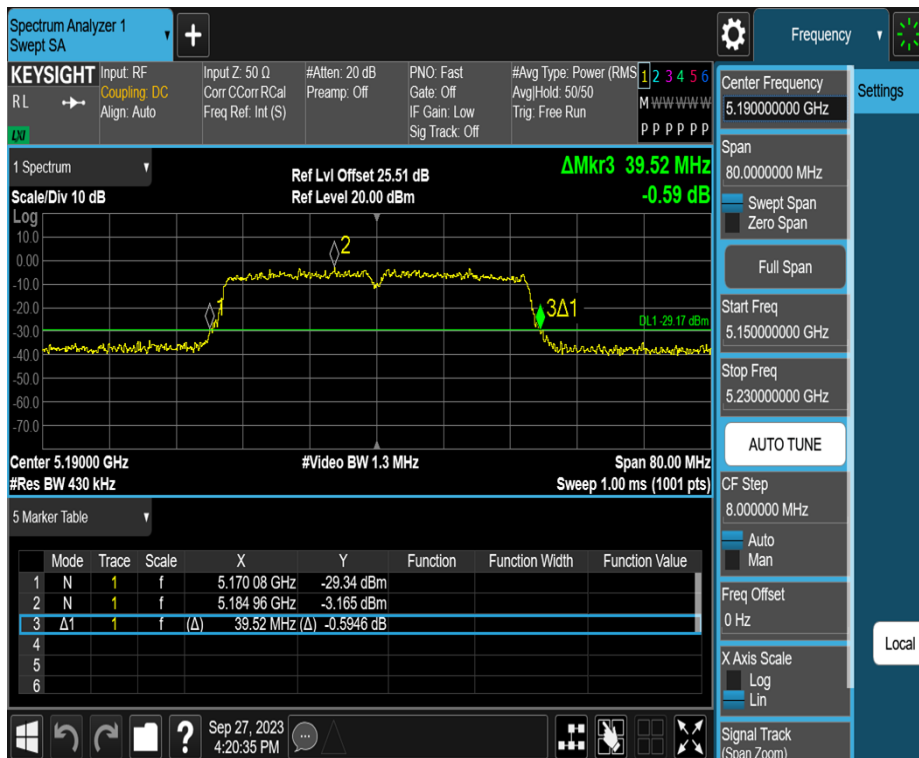
11N20MIMO_Ant2_5825



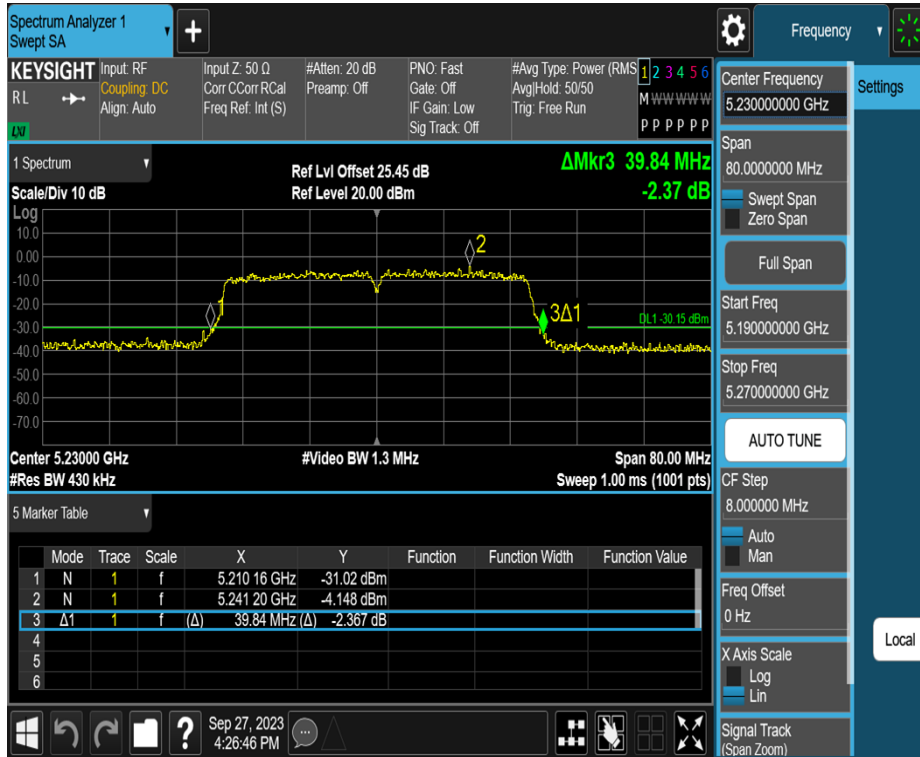
11N40MIMO_Ant1_5190



11N40MIMO_Ant2_5190



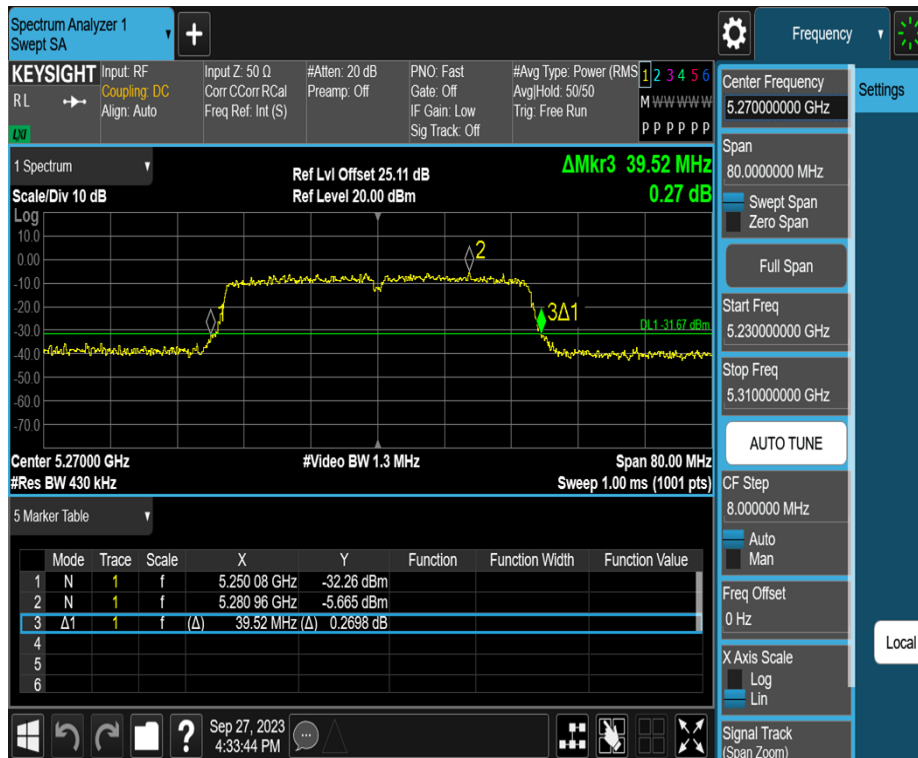
11N40MIMO_Ant1_5230



11N40MIMO_Ant2_5230



11N40MIMO_Ant1_5270



11N40MIMO_Ant2_5270



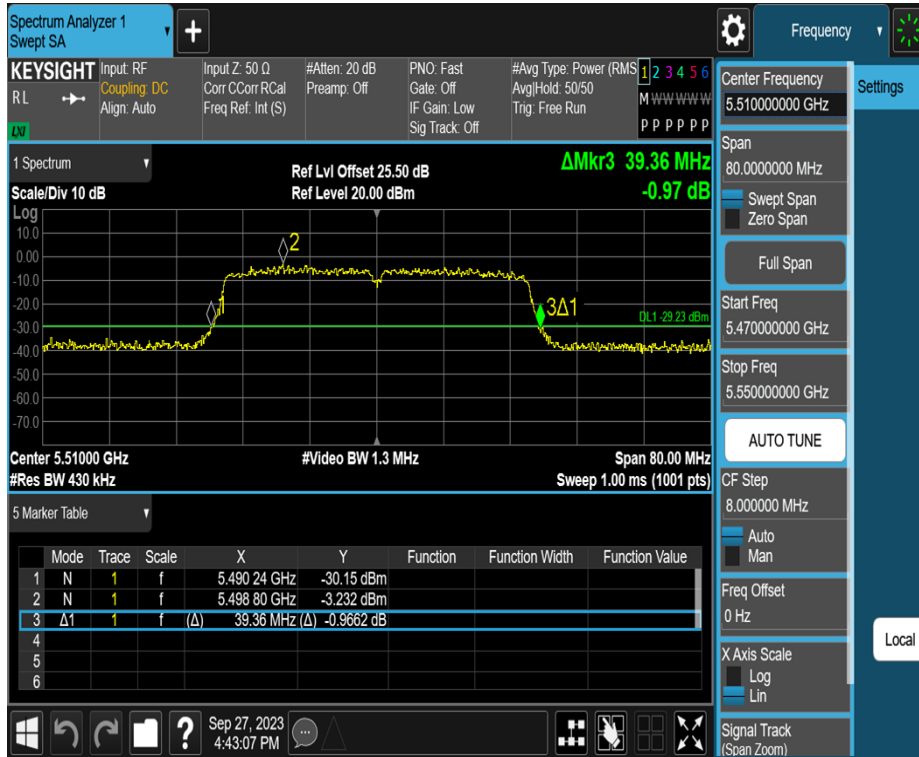
11N40MIMO_Ant1_5310



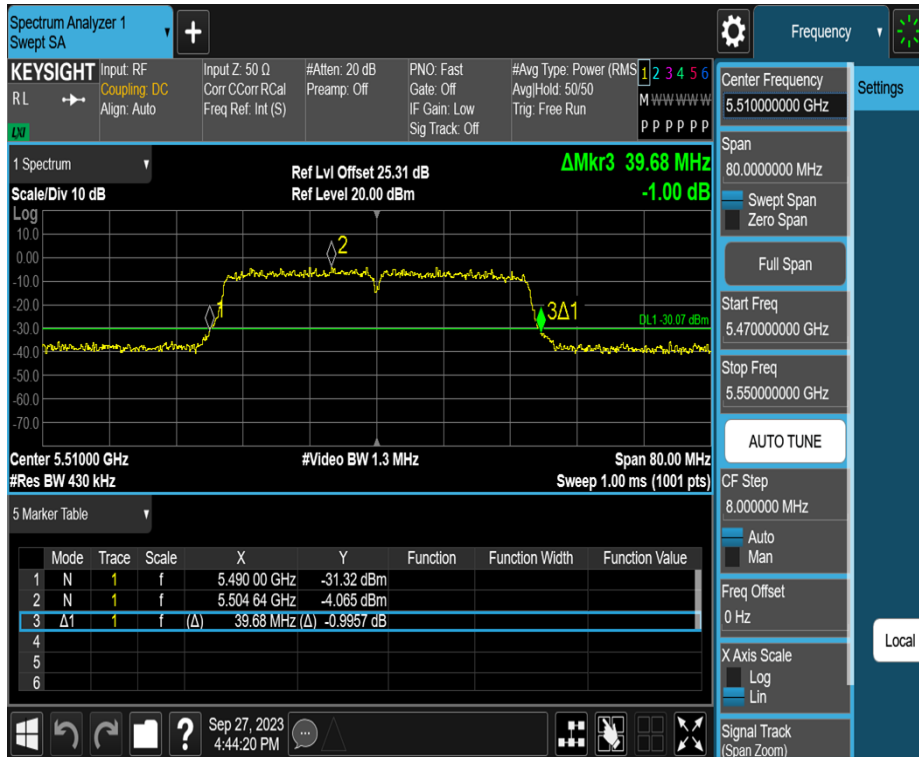
11N40MIMO_Ant2_5310



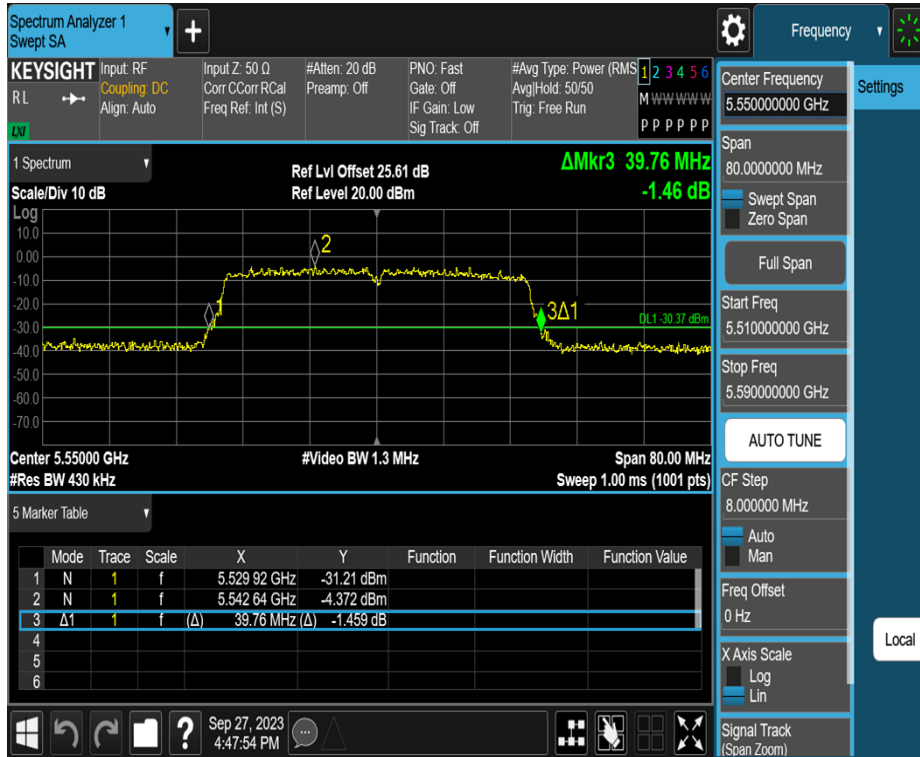
11N40MIMO_Ant1_5510



11N40MIMO_Ant2_5510



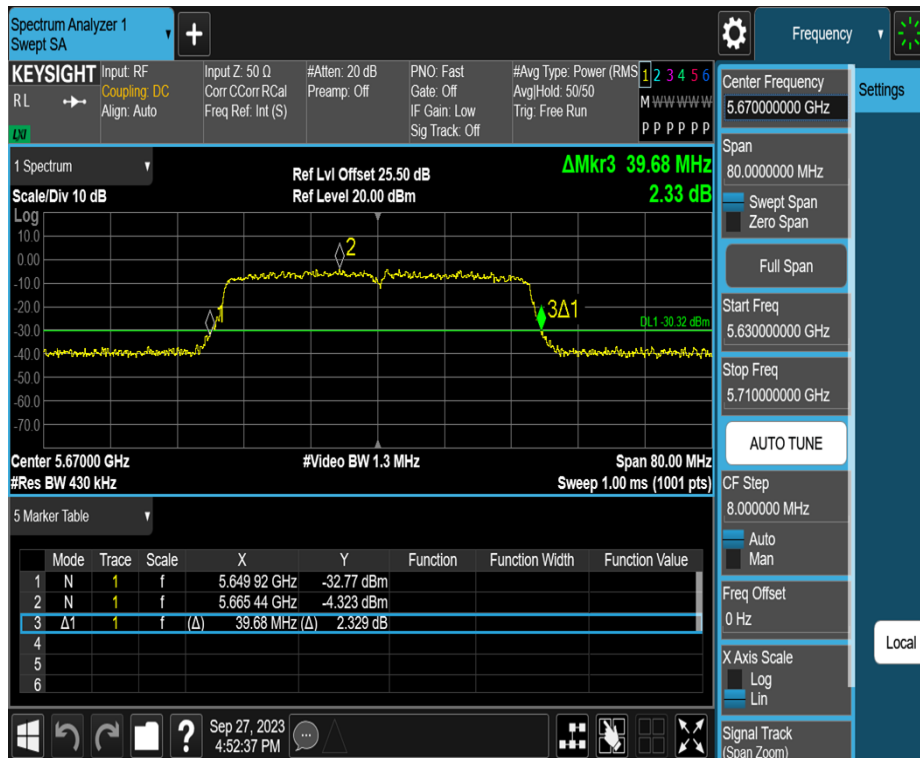
11N40MIMO_Ant1_5550



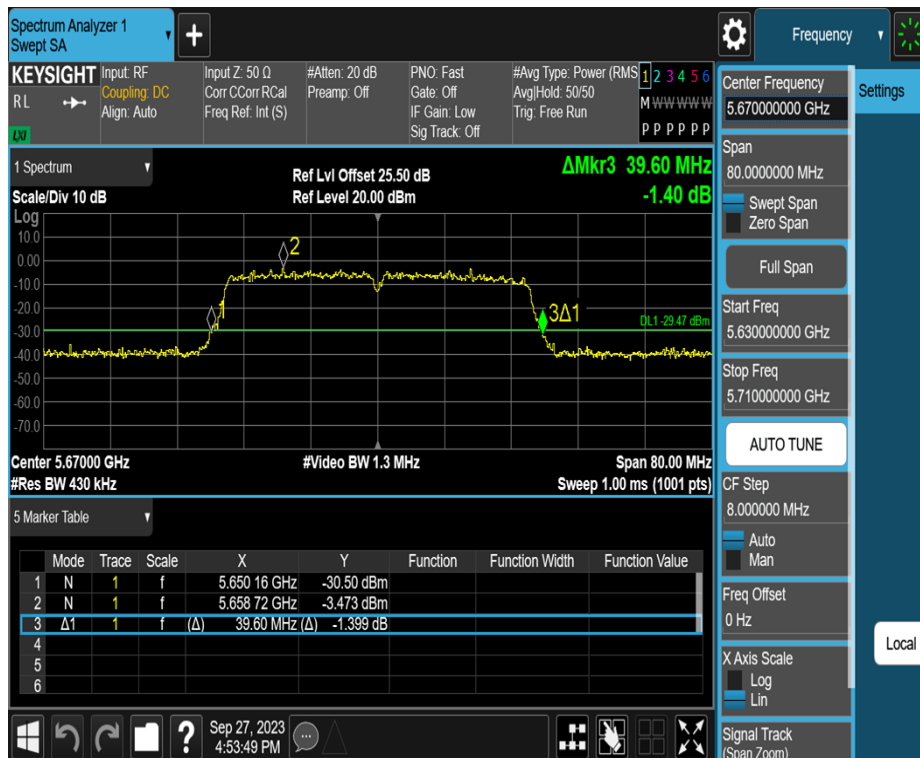
11N40MIMO_Ant2_5550



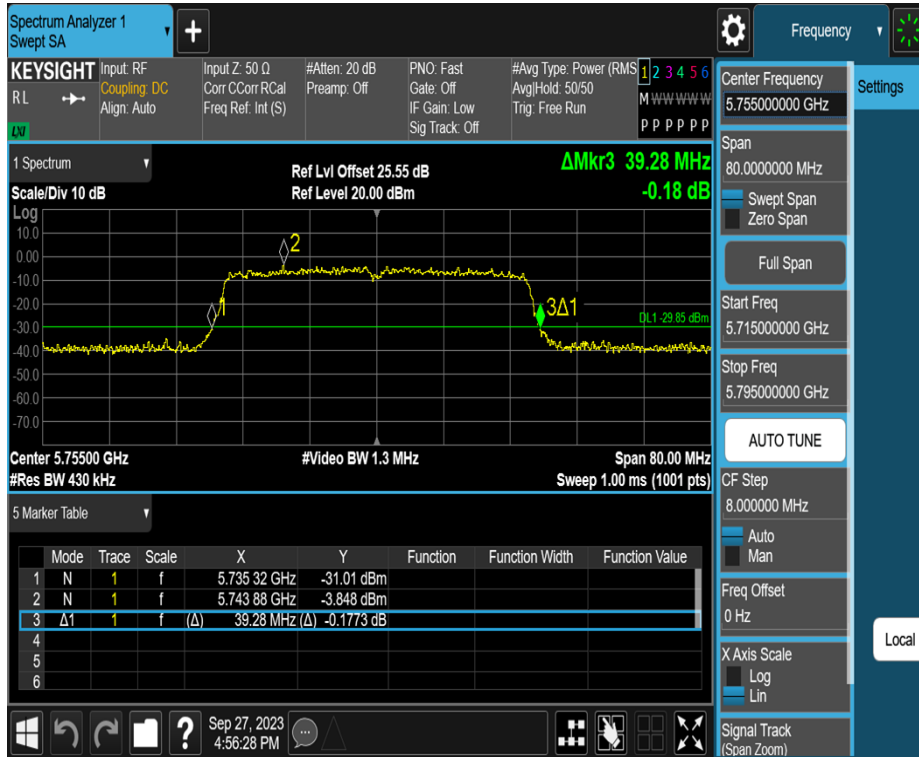
11N40MIMO_Ant1_5670



11N40MIMO_Ant2_5670



11N40MIMO_Ant1_5755



11N40MIMO_Ant2_5755



11N40MIMO_Ant1_5795



11N40MIMO_Ant2_5795

